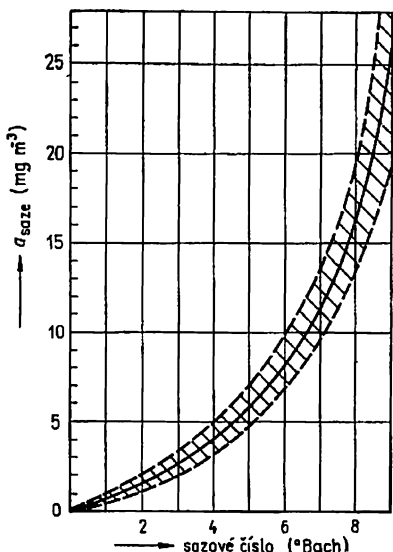


porovná s normovanou stupnicí sazového čísla s rozsahem 0 až 9. Objem  $1,8 \text{ dm}^3$  je dán 10 zdvihy pístu s objemem  $180 \text{ cm}^3$ . Koncentraci sazí ve spalinách lze určit ze sazového čísla podle grafu na obr. 3.7.



Obr. 3.7. Závislost koncentrace sazí ve spalinách na  ${}^{\circ}\text{Bach}$  ( ${}^{\circ}\text{Bacharach}$ )

## 3.2 DYNAMIKA SPALOVÁNÍ

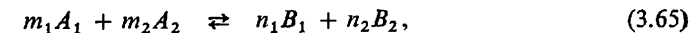
Spalování v průmyslových spalovacích zařízeních (organizované a řízené hoření paliva) se skládá z řady fyzikálních a chemických dějů vzájemně se prolínajících nebo na sebe navazujících, tj. probíhajících v čase paralelně nebo v sérii. Jestliže z celkové doby hoření

$$\tau_c = \tau_f + \tau_{ch} \quad (\text{s}), \quad (3.64)$$

je doba potřebná k proběhnutí chemických reakcí  $\tau_{ch}$  podstatně delší než doba k proběhnutí dějů fyzikálního charakteru, tj.  $\tau_{ch} \gg \tau_f$  resp.  $\tau_{ch} \approx \tau_c$ , jde o spalování *kinetické*. Opačný případ, kdy o rychlosti spalování budou rozhodovat děje fyzikální, protože  $\tau_{ch} \ll \tau_f$  se nazývá spalování *difúzní*. Podle toho, jsou-li fáze paliva i okysličovadla shodné, hovoří se o spalování *homogenním*, jsou-li rozličné o spalování *heterogenním*.

### 3.2.1 KINETIKA SPALOVACÍCH REAKCÍ

Intenzita chemických reakcí při spalování je charakterizována rychlosťí hoření, což je časová změna koncentrace složek hořlaviny  $- \frac{dC}{dt}$ , nebo ve výsledných produktech  $+ \frac{dC}{dt}$ . Například pro spalování  $m_1$  molekul paliva  $A_1$  s  $(m_2)$  molekulami okysličovadla  $A_2$ , při němž vzniká  $n_1$  a  $n_2$  molekul produktů  $B_1$  a  $B_2$  podle rovnice



je rychlosť reakce možno vztáhnout na hořlavinu

$$w_{A_1} = - \frac{dC_{A_1}}{dt} \quad (\text{mol m}^{-3} \text{ s}^{-1}) \quad (3.66)$$

nebo na konečný produkt  $B_1$  či  $B_2$ ,

$$w_{B_1} = + \frac{dC_{B_1}}{dt}, \quad \text{resp.} \quad w_{B_2} = + \frac{dC_{B_2}}{dt}. \quad (3.67)$$

Reakční rychlosti definované jednotlivými složkami nejsou obecně stejné, ale jejich vztah lze vyjádřit poměrem počtu molekul v reakci

$$w_{A_1} = \frac{m_1}{m_2} w_{A_2} = \frac{m_1}{n_2} w_{B_1} = \frac{m_1}{n_2} w_{B_2}. \quad (3.68)$$

Řád spalovací reakce (zleva doprava) udává součet  $m = m_1 + m_2$ ; řád vratné reakce je  $n = n_1 + n_2$ . Pro rovnici (3.65) platí podle zákona o působení aktivní hmoty pro reakci zleva doprava, že reakční rychlosť je úměrná v daném okamžiku součinu okamžitých molekulárních koncentrací reagujících látek

$$w_1 = w_{A_1} = - \frac{dC_{A_1}}{dt} = k_1 C_{A_1}^{m_1} C_{A_2}^{m_2}. \quad (3.69)$$

Přitom současně vzrůstá koncentrace produktů spalovací reakce a rychlosť vratné reakce (zprava doleva) se zvětšuje

$$w_2 = k_2 C_{B_1}^{n_1} C_{B_2}^{n_2}. \quad (3.70)$$

To způsobuje, že výsledná reakce spalování bez příslušného paliva nebo okysličovadla zmenšuje,

$$w = w_1 - w_2 = k_1 C_{A_1}^{m_1} C_{A_2}^{m_2} - k_2 C_{B_1}^{n_1} C_{B_2}^{n_2} \quad (\text{mol m}^{-3} \text{ s}^{-1}), \quad (3.71)$$

až v ustáleném stavu  $w = 0$ , tj.  $w_1 = w_2$ , takže pro konstantu rovnovážného

stavu dané reakce platí

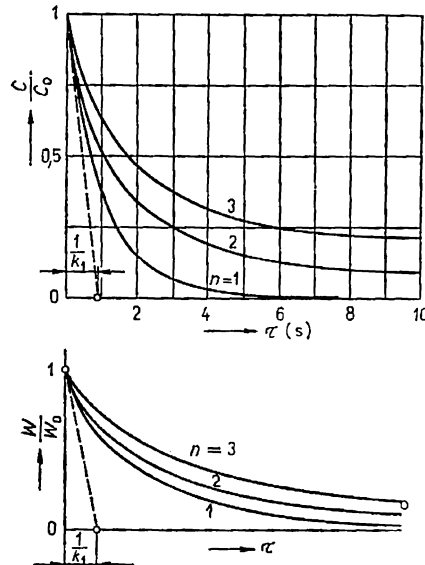
$$K_r = \frac{k_2}{k_1} = \frac{C_{A_1}^{m_1} C_{A_2}^{m_2}}{C_{B_1}^{n_1} C_{B_2}^{n_2}}. \quad (3.72)$$

Vyjádří-li se molární koncentrace reagující látky  $C_i = \frac{m_i}{V}$  (resp.  $\frac{n_i}{V}$ ) pomocí stavové rovnice  $p_i V = m_i RT$ , tj.

$$C_i = \frac{p_i}{RT} \quad (\text{mol m}^{-3}), \quad (3.73)$$

je vidět, jak  $K_r$  závisí na parciálních tlacích složek  $p_i$ , na teplotě  $T$  (K), na univerzální plynové konstantě  $R$  a na změně součtu molekul před a po reakci  $\Delta m = n_1 + n_2 - m_1 - m_2$ ,

$$K_r = \frac{p_{A_1}^{m_1} p_{A_2}^{m_2}}{p_{B_1}^{n_1} p_{B_2}^{n_2}} (RT)^{\Delta m} = K_p (RT)^{\Delta m}. \quad (3.74)$$



Obr. 3.8. Závislost časové změny koncentrace a rychlosti reakce při nevratném ději 1. až 3. řádu

#### a) Monomolekulární nevratné reakce při spalování (1. řádu)

Pro nevratné reakce 1. řádu (jakými jsou při spalování např. tepelné rozklady uhličitanů a síranů v popelovinách nebo nevratné disociace plynů) typu



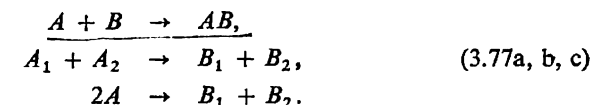
má (3.85) tvar  $w = -\frac{dC_A}{dt} = k_A C_A$ . Integrací vycházejí vztahy pro časový průběh změny molární koncentrace a rychlosti reakce

$$C_A = C_{A_0} e^{-k_A \tau}, \quad w = k_A C_{A_0} e^{-k_A \tau} = w_0 e^{-k_A \tau} \quad (3.76a, b)$$

podle obr. 3.8, křivka  $n = 1$ .

#### b) Bimolekulární nevratné reakce při spalování (2. řádu)

Tyto reakce mohou probíhat podle rovnic:



Protože molární koncentrace složek  $C_1$  a  $C_2$  vstupujících do reakce jsou obvykle stejné, tj.  $C_1 = C_2 = C$ , přejde (3.69) na tvar  $w = -\frac{dC}{dt} = kC^2$ . Pro časové změny koncentrace výchozí složky a rychlosti reakce platí rovnice

$$C = \frac{C_0}{(1 + kC_0\tau)}, \quad w = \frac{kC_0^2}{(1 + kC_0\tau)^2} = \frac{w_0}{\left(1 + \frac{w_0\tau}{C_0}\right)^2} \quad (3.78a, b)$$

zobrazené v obr. 3.8, křivka  $n = 2$ .

#### c) Trimolekulární nevratné reakce při spalování

Analogicky k předchozímu je rychlosť reakce vyjádřena koncentracemi vstupujících složek

$$w = -\frac{dC}{dt} = kC_1 C_2 C_3. \quad (3.79)$$

Pokud jsou koncentrace stejné, tj.  $C_1 = C_2 = C_3 = C$ , je  $w = -\frac{dC}{dt} = kC^3$ , a tedy

$$C = \frac{C_0}{1 + 2C_0^2 k \tau}, \quad w = \frac{kC_0^3}{\sqrt{(1 + 2C_0^2 k \tau)^3}} = \frac{w_0}{\sqrt{\left(1 + \frac{2}{C_0} w_0 \tau\right)^3}} \quad (3.80a, b)$$

podle obr. 3.8, křivka  $n = 3$ .

#### d) Vratná bimolekulární reakce při spalování



Protože vstupní složky spalování  $A_1$  a  $A_2$  jsou v ekvivalentních molekulárních

konzentracích ( $C_1 = C_2 = C$ ), a protože na začátku reakce jsou koncentrace zplodin  $B_1$  a  $B_2$  v reakčním objemu nulové, je rychlosť zleva doprava  $w_1 = k_1(C_0 - C)^2$  a rychlosť zprava doleva  $w_2 = k_2C^2$ , a tudiž výsledná rychlosť

$$w = w_1 - w_2 = -\frac{d(C - C_0)}{dt} = \frac{dC}{dt} = k_1(C_0 - C)^2 - k_2C^2. \quad (3.82)$$

Zavedením rovnovážné konstanty  $K_r = \frac{k_2}{k_1}$  podle (3.72) platí též

$$\frac{dC}{k_1 dt} = (C_0 - C)^2 - K_r C^2. \quad (3.83)$$

Rozložením pravé strany na součin 2 dvoučlenů  $(C_1 - C)(C_2 - C)$ , v nichž

$$C_1 = \frac{C_0}{1 - \sqrt{K_r}} \quad \text{a} \quad C_2 = \frac{C_0}{1 + \sqrt{K_r}}, \quad (3.84a, b)$$

vychází integraci diferenciální rovnice vztah pro určení doby spalování potřebné k dosažení koncentrace  $C$ ,

$$\tau = \frac{1}{k_1(C_2 - C_1)} \ln \frac{C_1(C_2 - C)}{C_2(C_1 - C)} \quad (\text{s}). \quad (3.85)$$

Naopak koncentrace v libovolném okamžiku  $\tau$  (s) od začátku reakce je

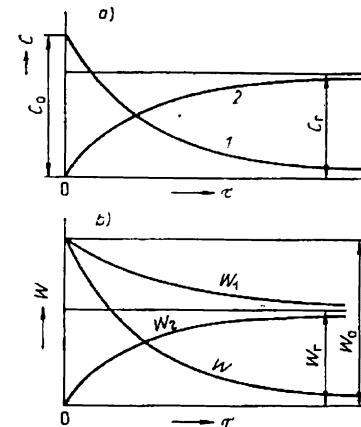
$$C = C_2 \frac{1 - e^{k_1(C_2 - C_1)\tau}}{1 - \frac{C_2}{C} e^{k_1(C_2 - C_1)\tau}} \quad (\text{mol m}^{-3}). \quad (3.86)$$

Z rozboru rovnice zobrazené na obr. 3.9 plyne, že po dostatečně dlouhé době se dosáhne rovnovážného stavu a molární koncentrace produktů hoření  $C_2$  se přiblíží rovnovážné koncentraci  $C_r$ . Rychlosť vratné reakce i oxidace se bude s časem asymptoticky přibližovat přímce  $w_r = \text{konst}$ , neboť pro  $\tau = \infty$  je  $w_2 = k_2C_2 = w_r$  a  $w_1 = k_1(C_0 - C_2)^2 = w_r$ , takže výsledná rychlosť  $w = w_1 - w_2$  nepřetržitě klesá, až pro  $\tau = \infty$  je  $w = 0$ .

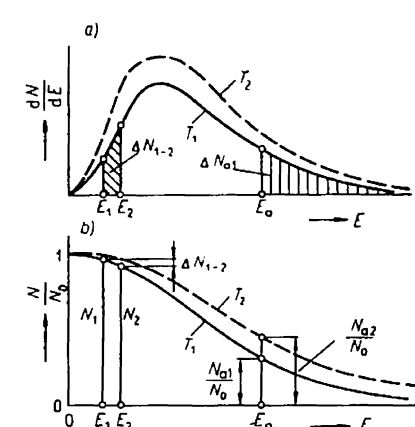
### 3.2.2 VLIV TEPLITĚ NA RYCHLOST KINETICKÉHO SPALOVANÍ

Elementární chemické děje při spalování mohou probíhat mezi molekulami paliva a oxysličovadla jen tehdy, když přijdou tyto molekuly do vzájemného styku. Střetnutí molekul je však jen podmínkou nutnou, nikoli postačující. Například podle kinetické teorie plynů činí počet srážek molekul  $H_2$  a  $O_2$

ve směsi při  $t = 0^\circ\text{C}$  a  $p = 0,1 \text{ MPa}$  celkem  $10^{29}$ , a přesto při této teplotě exotermická reakce probíhá pomalu. Aby střetnuvší se molekuly mohly vstoupit do reakce, musí mít podmínky k zrušení vnitřní molekulové vazby. Minimální energie potřebná k přetvoření molekulárních vazeb paliva a oxysličovadla má



Obr. 3.9. Časový průběh  
a — úbytku koncentrace paliva (1) a přírůstku produktu kinetického spalování (2); b — rychlosti bimolekulární vratné reakce  $w$ , rychlosti oxidace  $w_1$  a disociace  $w_2$ ; ( $w = w_1 - w_2$ ;



Obr. 3.10. Závislost počtu molekul  $N$  (majících energii 0 až  $E$ ) na energii  $E$  (b) a křivka distribučního rozdělení energie (a); ( $N_{a1}$  počet molekul majících energii stejnou nebo větší než je aktivační energie  $E_a$  při teplotě směsi  $T_1$ )

pro určitý druh reakce zcela určitou hodnotu a nazývá se aktivační energie  $E_a$  ( $\text{J mol}^{-1}$ ).

Uhrnná kinetická energie  $E_c$  chaotického pohybu všech  $N_0$  molekul plynu v určitém uzavřeném objemu je rozdělena na jednotlivé molekuly nejstejnomořně a je tím vyšší, čím je vyšší teplota plynu. Podle kinetické teorie plynů lze rozdělení energie  $E$  na určitý počet molekul vyjádřit analytickým vztahem

$$\frac{dN}{dE} = \frac{2}{\pi} N_0 \sqrt{\frac{E}{(RT)^3}} e^{-\frac{E}{RT}}, \quad (3.87)$$

jemuž odpovídá pro teploty  $T_1$  a  $T_2$  průběh podle obr. 3.10a. Počet molekul  $\Delta N_{1-2}$  majících energii v rozmezí  $E_1$  až  $E_2$  je dán rozdílem  $N_1 - N_2$  integrační křivky, obr. 10b, protože platí

$$\Delta N = N_1 - N_2 = \int_{E_1}^{E_2} \frac{2}{\pi} N_0 \sqrt{\frac{E}{(RT)^3}} e^{-\frac{E}{RT}} dE. \quad (3.88)$$

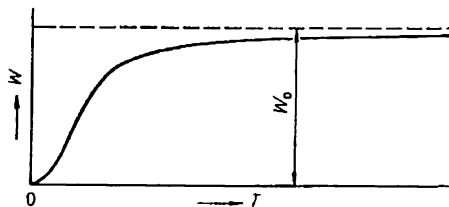
Počet molekul schopných uskutečnit spalovací reakci lze určit z podmínky, že jejich energie  $E$  je větší než  $E_a$ , tudíž

$$\Delta N_a = N_a - N_\infty = \frac{2}{\pi} \int_{E_a}^{\infty} N_0 \sqrt{\frac{E}{(RT)^3}} e^{-\frac{E}{RT}} dE. \quad (3.89)$$

Tento integrál lze rozložit v konvergentní řadu, jejíž 1. člen  $N_0 e^{-E_a/RT}$  je větší než 97 %  $\Delta N_a$ , takže po zanedbání 2. členu a dalších možno přibližně uvažovat, že

$$\Delta N_a \doteq N_0 e^{-\frac{E_a}{RT}}. \quad (3.90)$$

Univerzální plynová konstanta  $R = 8,316\ 96 \text{ kJ kmol}^{-1} \text{ K}^{-1}$  a celkový počet molekul v 1 kmol je podle Avogadrova zákona  $N_0 = (6,024\ 86 \pm 0,000\ 16) \cdot 10^{26}$ .



Obr. 3.11. Závislost reakční rychlosti na teplotě směsi

Kdyby nebylo uvedeného energetického omezení, byla by rychlosť reakce  $w_0$  dána pravděpodobností poměru všech srážek mezi molekulami  $n_0$  v  $1 \text{ m}^3$  za 1 s, které se dostanou do podmínek příznivých pro uskutečnění reakce, ku celkovému počtu molekul  $N_0$  v  $1 \text{ m}^3$  objemu, tj.

$$w_0 = \frac{n_0}{N_0} \doteq \frac{n_0}{6,025 \cdot 10^{26}} \quad (\text{mol m}^{-3} \text{ s}^{-1}). \quad (3.91)$$

Z počtu  $n_0$  molekul však reagují jen ty, jejichž energie při teplotě  $T$  je  $E \geq E_a$ , tj. podle (3.90)  $n_a = n_0 e^{-E_a/RT}$ , takže

$$w = w_0 e^{-\frac{E_a}{RT}} \quad (\text{mol m}^{-3} \text{ s}^{-1}). \quad (3.92)$$

Uvedená závislost reakční rychlosti izotermické reakce na teplotě se nazývá **Arrheniův zákon** (obr. 3.11) a platí nejen pro reakci 1. řádu, ale i pro reakce vyššího řádu, např. z, protože platí

$$w = w_0 e^{-E_{a1}/RT} e^{-E_{a2}/RT} e^{-E_{a3}/RT} \dots = w_0 e^{-\sum E_a/RT}. \quad (3.93)$$

Z rovnice (3.92) plyne, že reakční rychlosť při spalování prudce vzrůstá s teplotou směsi a klesá s růstem aktivační energie  $E_a$ . Proto má pro urychlení a zkva-

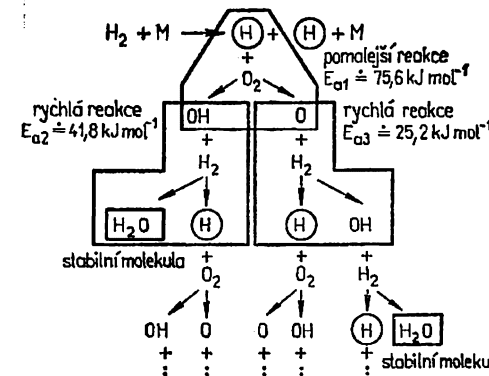
litnění spalování zejména méně hodnotných paliv velký význam ohřev spalovačího vzduchu.

Podle kinetické teorie plynu je sice počet srážek  $n_0$  a tedy i maximálně možná rychlosť  $w_0$  úměrná  $T$ , avšak podstatně méně výrazně než hodnota aktivačního faktoru  $e^{-E_a/RT}$ , takže veličinu  $w_0$  možno pro určitou reakci považovat za konstatní a nezávislou na teplotě. Hodnotu aktivační energie lze určit z 2 naměřených hodnot  $w_1$  a  $w_2$  pro  $T_1$  a  $T_2$  ze vztahu

$$E_a = \frac{RT_1 T_2}{T_1 - T_2} \ln \frac{w_1}{w_2} \quad (\text{J mol}^{-1}). \quad (3.94)$$

### 3.2.3 ŘETĚZOVÝ MECHANISMUS REAKCÍ PŘI SPALOVÁNÍ

Oxidace hořlavých složek paliva neprobíhá při spalování podle stechiometrických rovnic přímo, ale přes dílčí reakce, které potřebují k realizaci nižší aktivační energii, a jsou proto pravděpodobnější. Např. při spalování vodíku podle (3.8) následují za sebou reakce podle schématu na obr. 3.12. Aktivními



Obr. 3.12. Řetězová reakce při spalování vodíku

radikály, které jsou iniciátory reakce v celém souhrnu, jsou atomy vodíku H. Ty reagují s molekulou kyslíku pomalou reakcí o aktivační energii  $E_{a1} \doteq 75,6 \text{ kJ mol}^{-1}$  na radikál OH a atomární kyslík O. Hydroxylový anion OH reaguje rychlou reakcí o aktivační energii  $E_{a2} \doteq 41,8 \text{ kJ mol}^{-1}$  s 1 molekulou vodíku a vzniká stabilní molekula vodní páry  $\text{H}_2\text{O}$  a další vodíkový aktivní radikál. Atom kyslíku reaguje s molekulou  $\text{H}_2$  jinou rychlou reakcí o aktivační

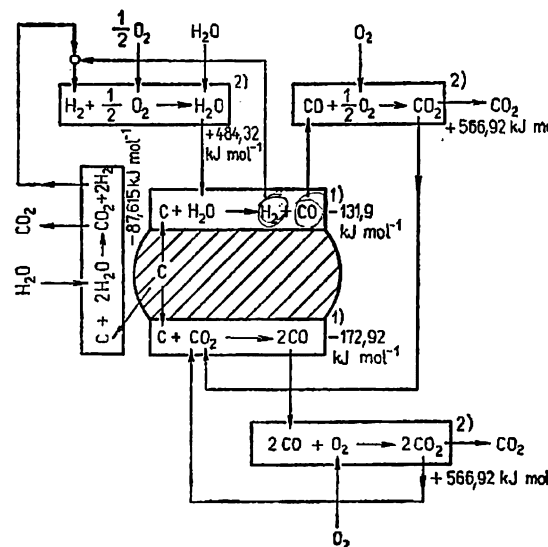
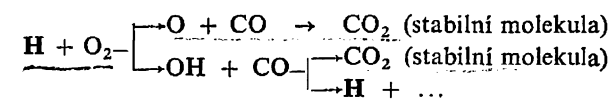
energií  $E_{a3} = 25,2 \text{ kJ mol}^{-1}$ , při niž vzniká další OH radikál a aktivní radikál H. Tak vzniknou z jednoho radikálu H jedna stabilní molekula  $\text{H}_2\text{O}$  a dva aktivní radikály H, které jsou dalšími iniciátory a umožňují tím chod řetězové reakce spalování. Za teplot než 500, resp.  $600^\circ\text{C}$  má řetězová reakce charakter normálního hoření, avšak při vyšších teplotách přejde rychle v řetězovou reakci výbušného spalování (tab. 3.5).

Tab. 3.5. Maximální a minimální hodnoty normálních spalovacích rychlostí, meze koncentrací normálního spalování a meze výbušnosti plynných paliv se vzduchem

Plyn	$w_h \text{ max}$ ( $\text{m s}^{-4}$ )		Mez normálního spalování	Mez výbušnosti se vzduchem	
	směs			dolní	horní
	s $\text{O}_2$	se vzduchem	(%) (obj.)	(%) (obj.)	(%) (obj.)
Vodík ( $\text{H}_2$ )	8,9	2,67	0,1–0,2	< 4,1	> 74,3
Kysličník uhelnatý (CO)	1,1	0,33	0,1–0,2	< 12,5	> 74,3
Metan ( $\text{CH}_4$ )	3,3	0,35	0,1–0,2	< 5,0	> 15,0
Etan ( $\text{C}_2\text{H}_6$ )			0,1–0,2	< 3,1	> 12,5
Propan ( $\text{C}_3\text{H}_8$ )	3,7	0,32	0,1–0,2	< 2,0	> 10,2
Butan ( $\text{C}_4\text{H}_{10}$ )			0,1–0,2	< 1,85	> 8,5
Acetylén ( $\text{C}_2\text{H}_2$ )		1,31	0,1–0,2	< 2,5	> 80,0
Etylén ( $\text{C}_2\text{H}_4$ )		0,63	0,1–0,2	< 2,75	> 28,6
Vodní plyn	4,7	1,60	0,1–0,2	< 6	> 70
Svítiplyn	7,05	0,64	0,1–0,2	< 4,6	> 31
Zemní plyn	3,5	0,34	0,0–0,2	< 5,0	> 14
Krychťový plyn			0,1–0,2	> 35	> 74
Generátorový plyn			0,1–0,2	> 6,0	> 70,0

Mechanismus oxidace atomárního uhlíku C v tuhých a kapalných palivech a kysličníku uhelnatého CO je ještě složitější než u vodíku. Vysušená směs (bez  $\text{H}_2\text{O}$ ) uhlíku, resp. CO s  $\text{O}_2$  nebo se suchým vzduchem do teploty zhruba  $700^\circ\text{C}$  vůbec chemicky nereaguje a nad touto teplotou probíhá jen pomalá reakce C a  $\text{CO}_2$  na 2 CO a mezi CO a  $\frac{1}{2} \text{ O}_2$  na  $\text{CO}_2$ , a to ještě jen

u stěn spalovací komory. K rozběhnutí intenzívní reakce je třeba iniciátoru v podobě malého množství  $\text{H}_2$  nebo  $\text{H}_2\text{O}$ . Vzniká totiž aktivní radikál atomárního vodíku, který sice dočasně přejeď na radikál OH, ale po zprostředkování reakce s CO se opět objeví, jak je vidět z následujícího schématu spalování CO:



Obr. 3.13. Model spalování uhlíku  
1 — povrchová reakce,  
2 — prostorová reakce

Mechanismus dílčích reakcí při spalování atomárního uhlíku za přítomnosti vody je naznačen na obr. 3.13. Model spalování metanu je rovněž velmi složitý a může např. probíhat podle schématu:

